

Tafeln

Autor(en): **[s.n.]**

Objektyp: **Appendix**

Zeitschrift: **Eclogae Geologicae Helvetiae**

Band (Jahr): **54 (1961)**

Heft 2

PDF erstellt am: **22.05.2024**

Nutzungsbedingungen

Die ETH-Bibliothek ist Anbieterin der digitalisierten Zeitschriften. Sie besitzt keine Urheberrechte an den Inhalten der Zeitschriften. Die Rechte liegen in der Regel bei den Herausgebern.

Die auf der Plattform e-periodica veröffentlichten Dokumente stehen für nicht-kommerzielle Zwecke in Lehre und Forschung sowie für die private Nutzung frei zur Verfügung. Einzelne Dateien oder Ausdrucke aus diesem Angebot können zusammen mit diesen Nutzungsbedingungen und den korrekten Herkunftsbezeichnungen weitergegeben werden.

Das Veröffentlichen von Bildern in Print- und Online-Publikationen ist nur mit vorheriger Genehmigung der Rechteinhaber erlaubt. Die systematische Speicherung von Teilen des elektronischen Angebots auf anderen Servern bedarf ebenfalls des schriftlichen Einverständnisses der Rechteinhaber.

Haftungsausschluss

Alle Angaben erfolgen ohne Gewähr für Vollständigkeit oder Richtigkeit. Es wird keine Haftung übernommen für Schäden durch die Verwendung von Informationen aus diesem Online-Angebot oder durch das Fehlen von Informationen. Dies gilt auch für Inhalte Dritter, die über dieses Angebot zugänglich sind.

Tafel I

Fig. 1 *Orbitolites complanatus* Lk. Lutétien, St. Frédéric. Schalenansicht. Vergr. $\times 15$. C 15300.

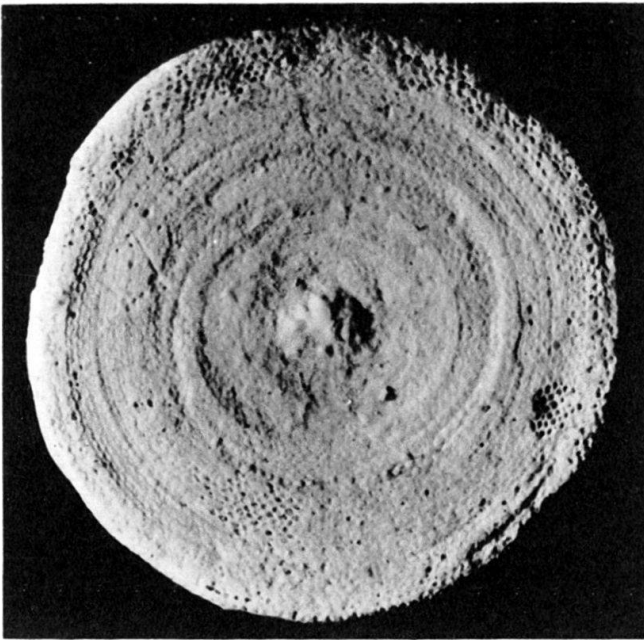
Fig. 2 *Orbitolites complanatus* Lk. Lutétien, Grignon, Typlokalität. Ausschnitt der Marginalseite. Vergr. $\times 30$. C 15301.

Fig. 3 *Orbitolites complanatus* Lk. Lutétien, Grignon. Axialschnitt. Vergr. $\times 30$. C 15302/a.

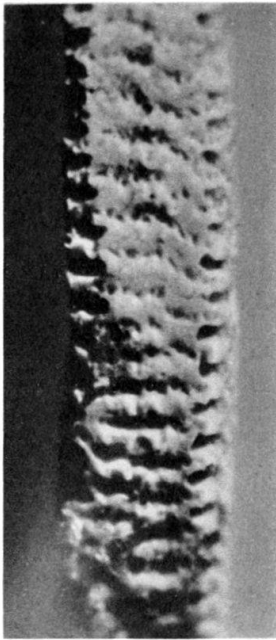
Fig. 4 *Orbitolites complanatus* Lk. Lutétien, Grignon. Äquatorialschnitt. Vergr. $\times 25$. C 15303/a.

Mit auffallendem Licht auf schwarzem Untergrund photographiert.

1



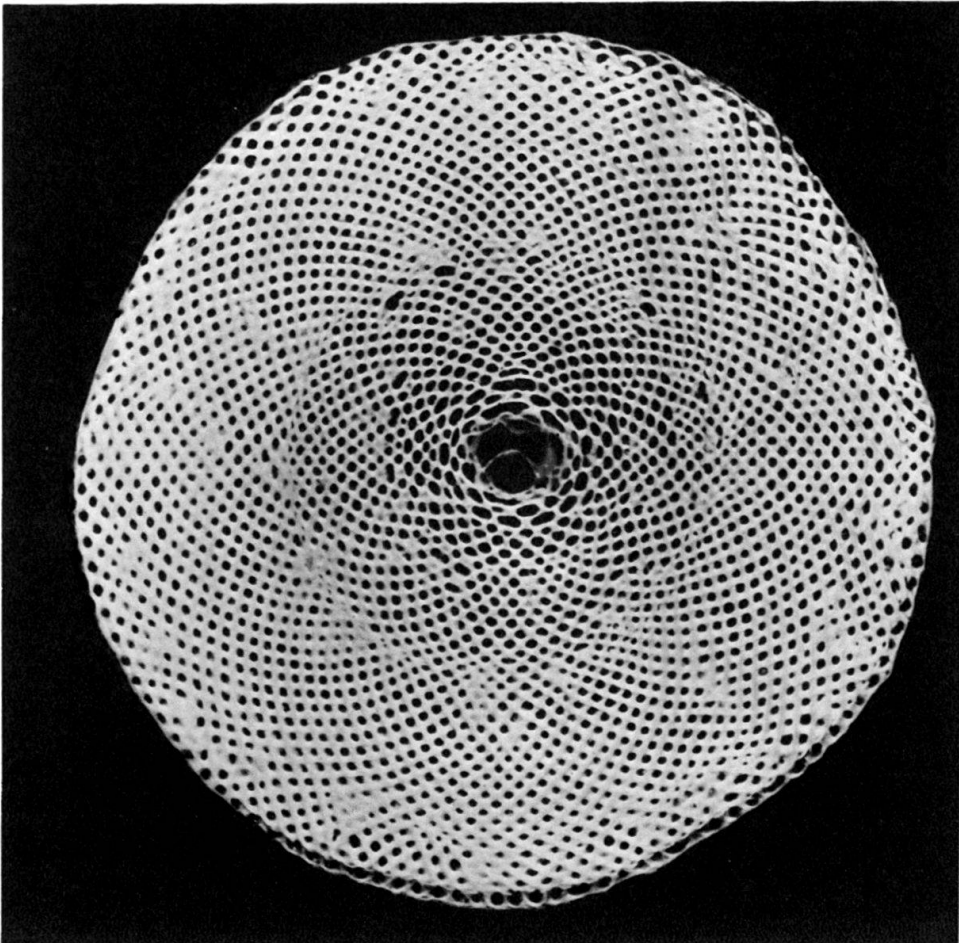
2



3



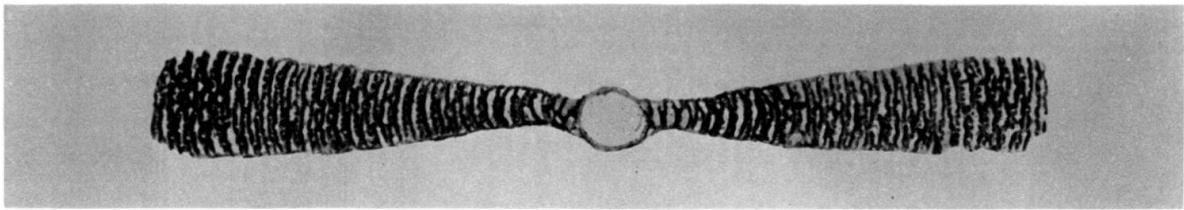
4



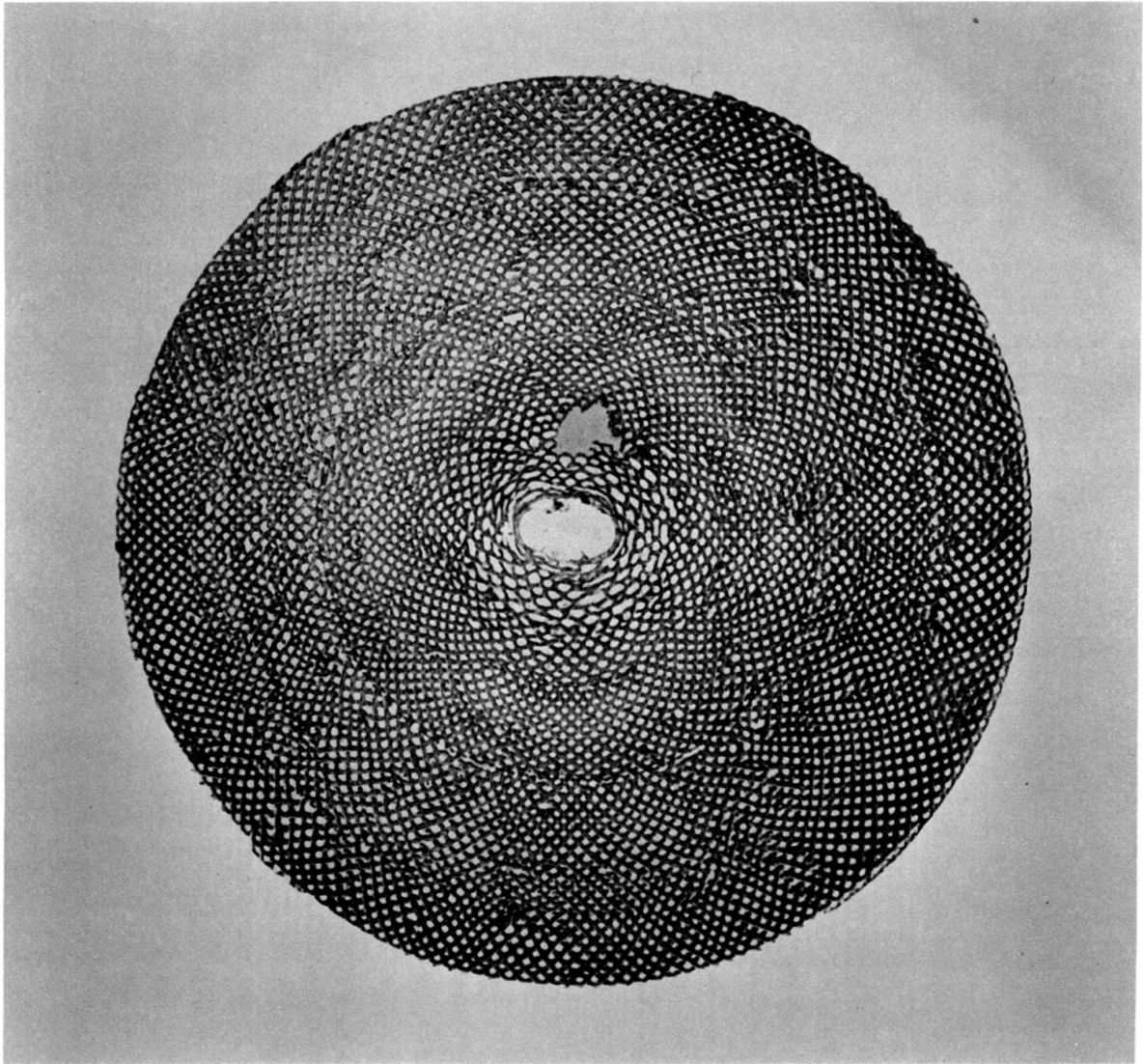
Tafel II

- Fig. 1 *Orbitolites complanatus* Lk. Lutétien, Grignon. Axialschnitt. Vergr. $\times 20$. C 15304/a.
- Fig. 2 *Orbitolites complanatus* Lk. Lutétien, St. Frédéric. Äquatorialschnitt. Vergr. $\times 20$. Geol.-Pal. Inst.
- Fig. 3 *Orbitolites complanatus* Lk. Lutétien, Grignon. Axialschnitt, Vergrößerung eines Ausschnitts von Fig. 1. Vergr. $\times 50$. C 15304/a.

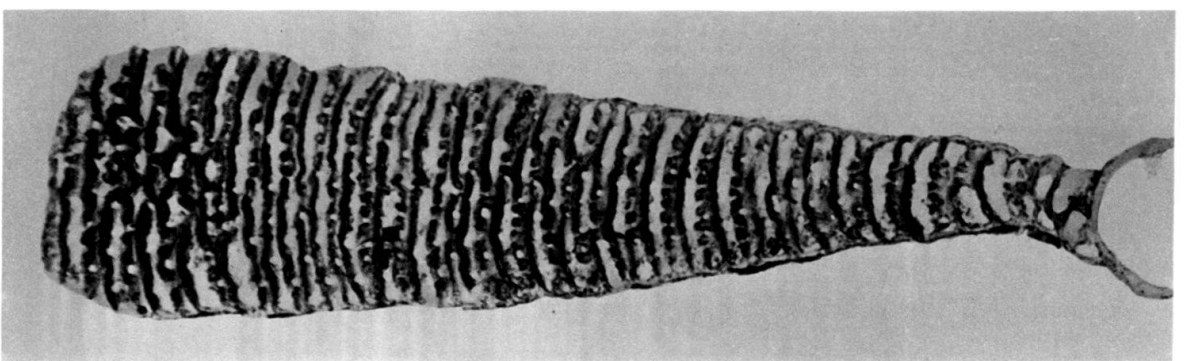
1



2



3



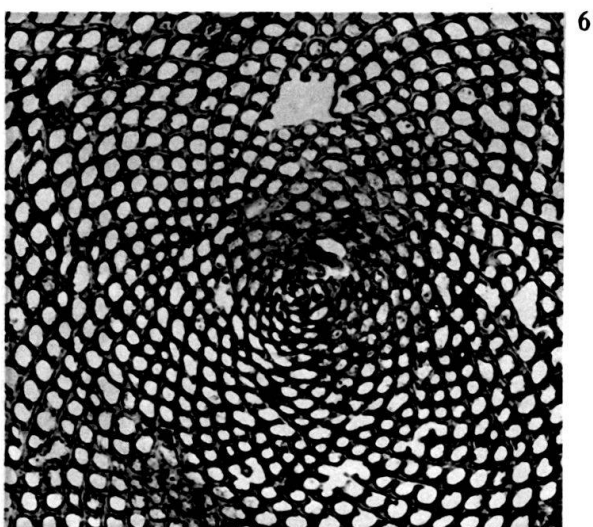
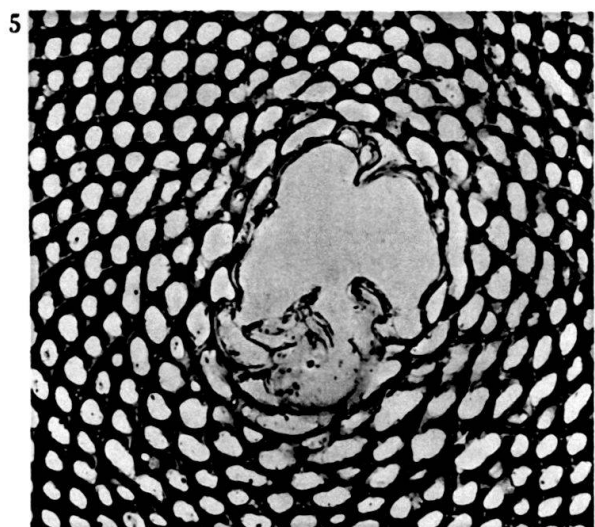
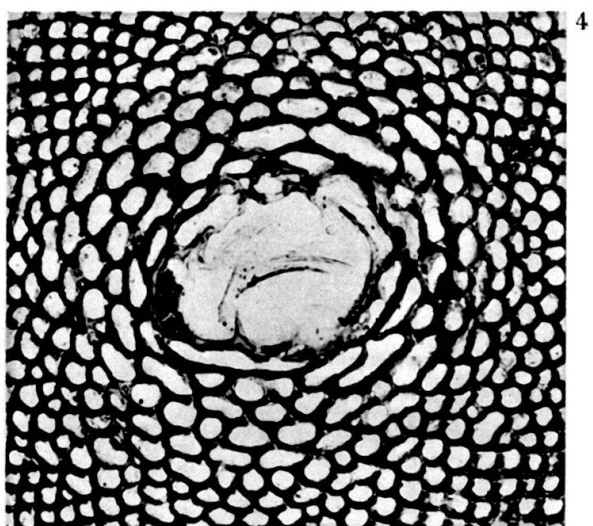
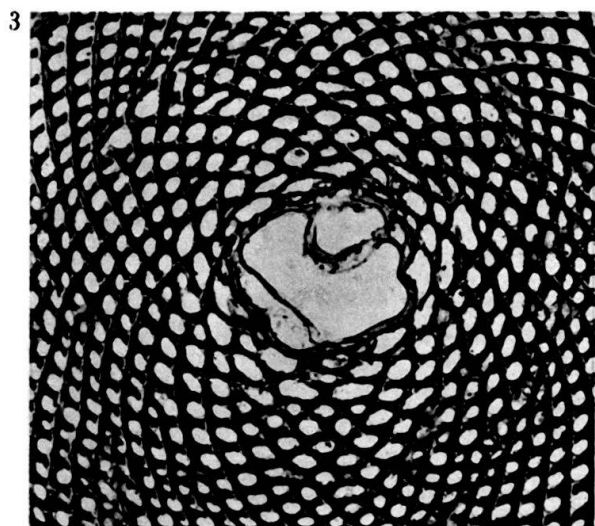
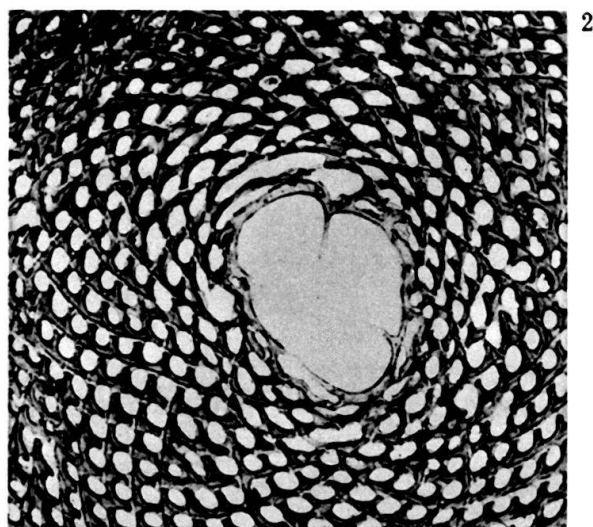
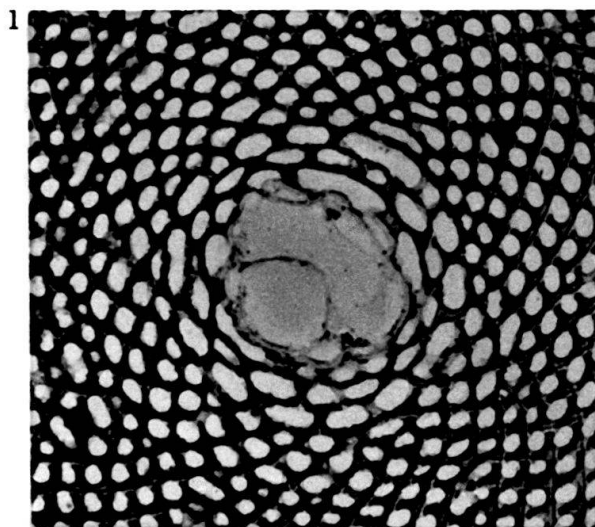
Tafel III

Orbitolites complanatus LK. Lutétien. Embryonalapparat.

Fig. 1, 5 und 6 Grignon.

Fig. 2, 3 und 4 St. Frédéric.

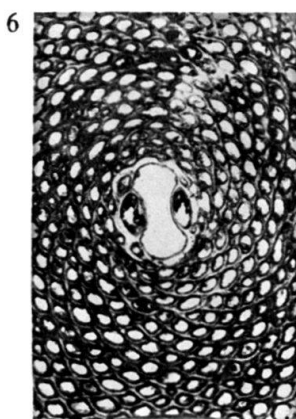
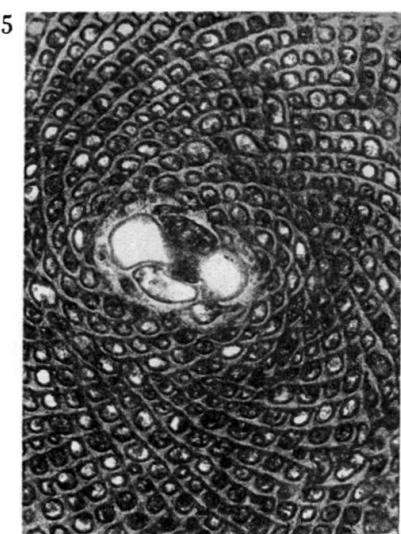
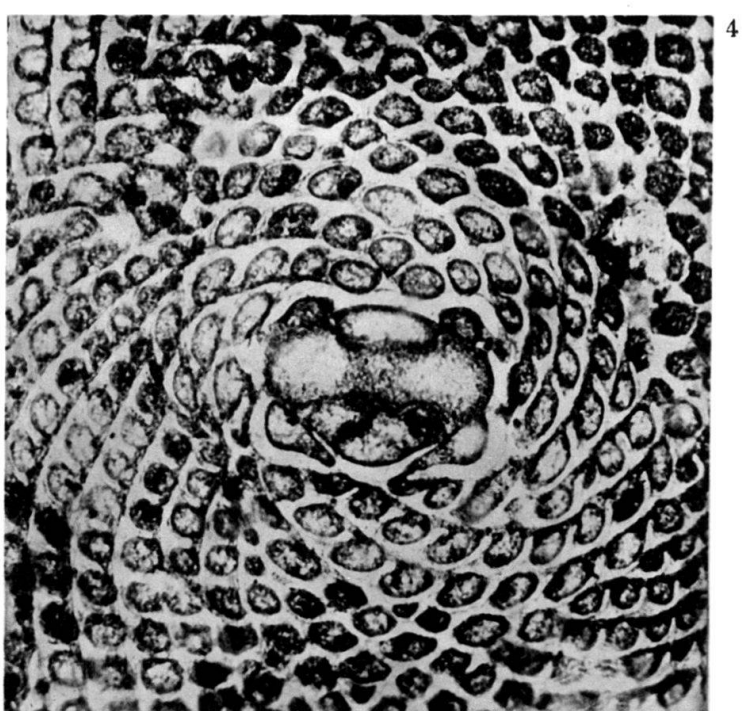
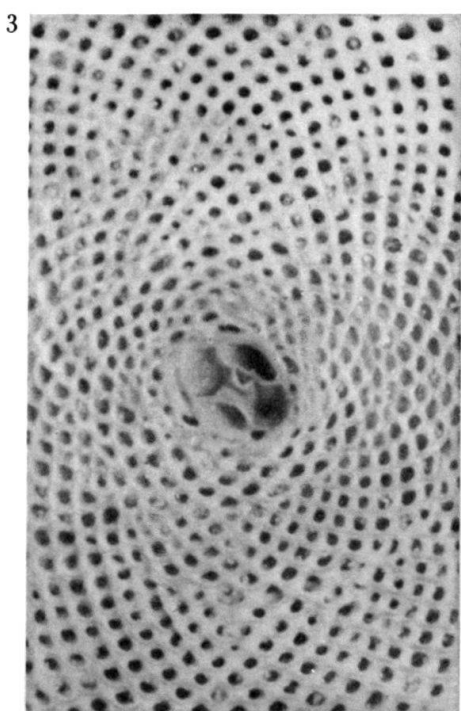
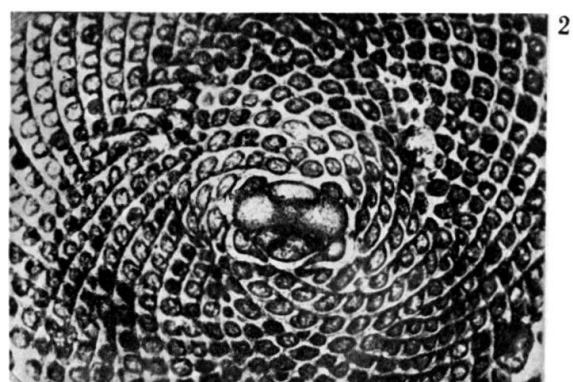
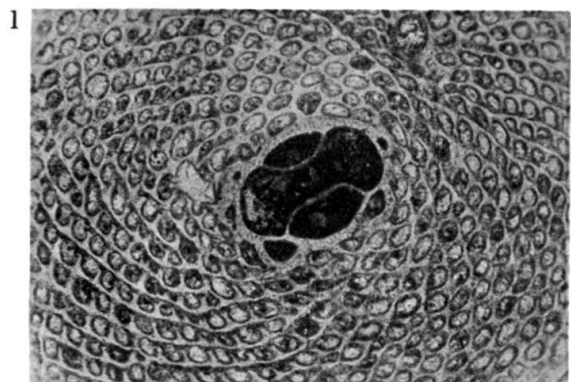
Mit Ausnahme von Fig. 6 (B-Form) sind alles A-Formen. Vergr. $\times 50$.
Fig. 1 C 15303/a, Fig. 2 C 15305/a, Fig. 3 C 15306/a, Fig. 4 C 15307/a,
Fig. 5 C 15308/a, Fig. 6 C 15309/a.



Tafel IV

Orbitolites reicheli n.sp. Biarritzien (oberstes Mitteleocaen), Bois Gouët. Embryonalapparat.
Fig. 2 und 4 sind Abbildungen des Holotypus, die restlichen Fig. sind Paratypen.
Vergr. $\times 50$, Fig. 4 Vergr. $\times 100$.

Fig. 1 C 15310/a, Fig. 2 C 15311/a, Fig. 3 C 15312, Fig. 4 C 15311/a, Fig. 5 C 15313/a, Fig. 6
C 15314/a, Fig. 7 C 15315/a.



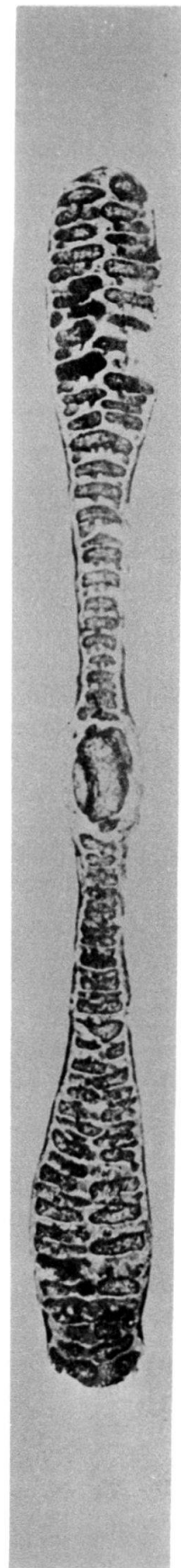
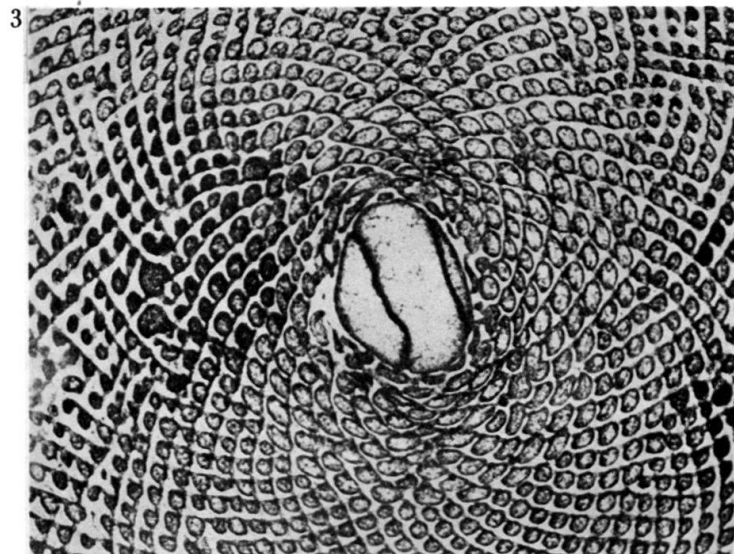
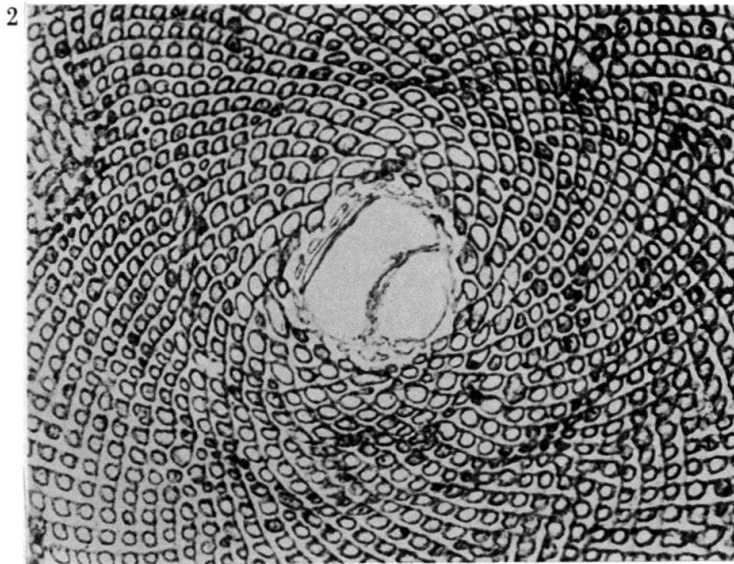
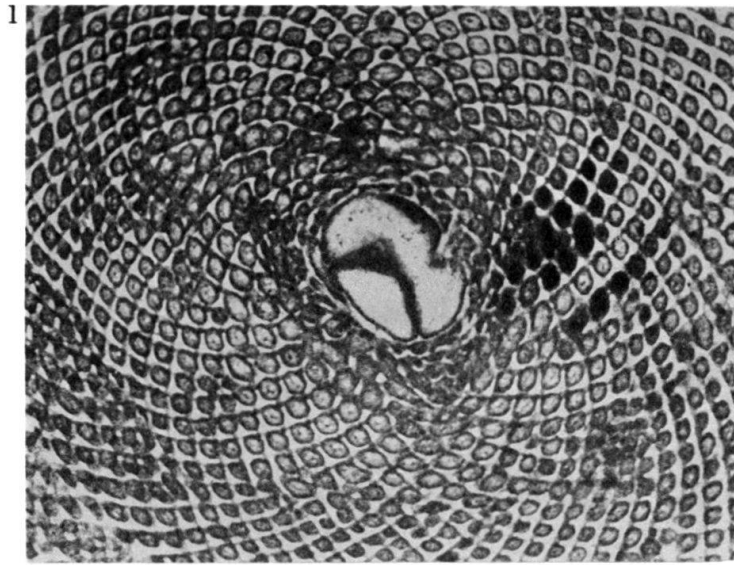
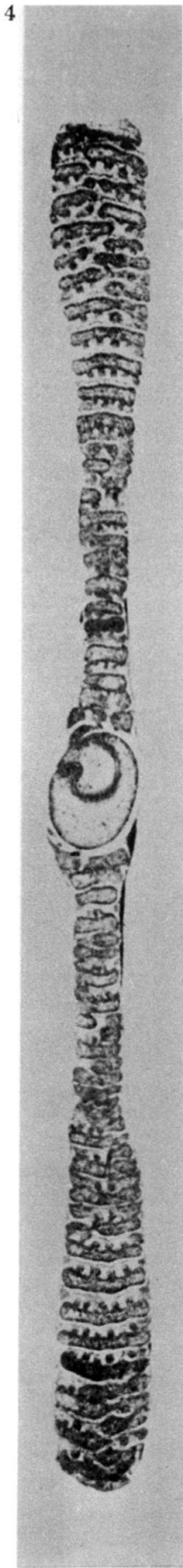
Tafel V

Fig. 1, 2 und 3 *Orbitolites armoricensis* n.sp. Biarritzien (oberstes Mitteleocaen), Bois Gouët. Embryonalapparat.

Fig. 4 und 5 *Orbitolites reicheli* n.sp. Biarritzien (oberstes Mitteleocaen), Bois Gouët. Axialschnitt.

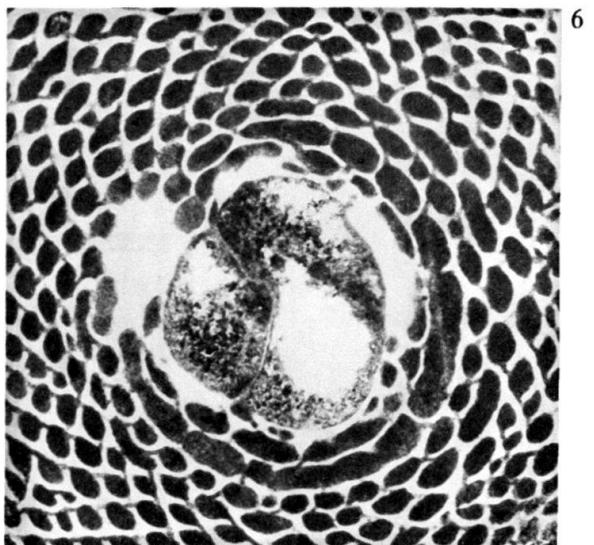
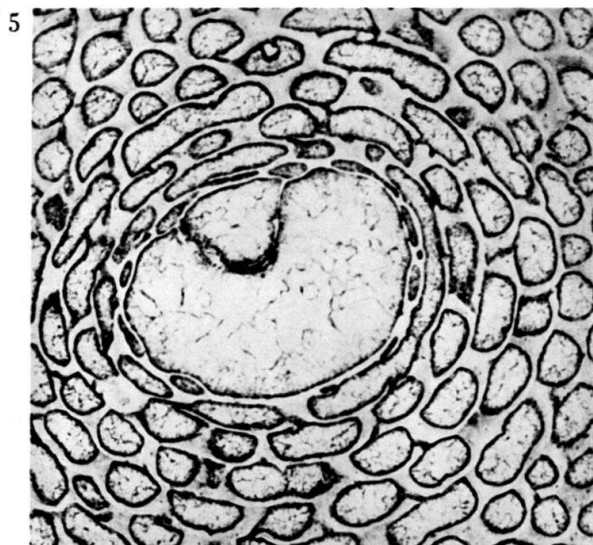
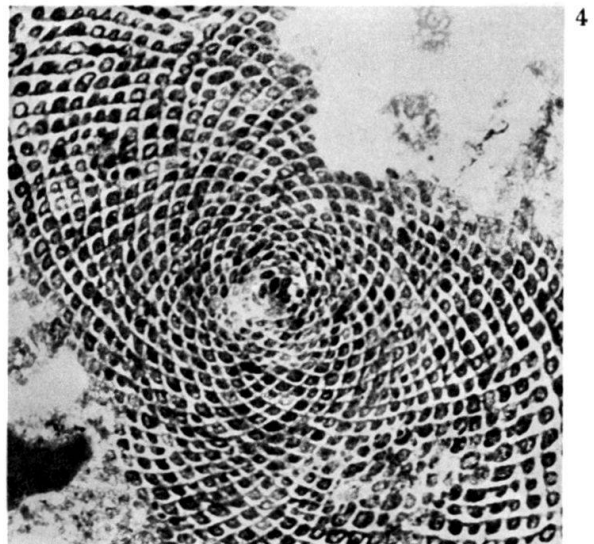
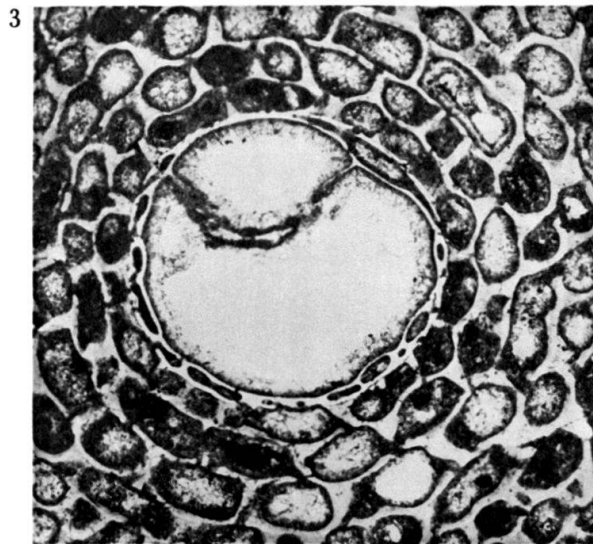
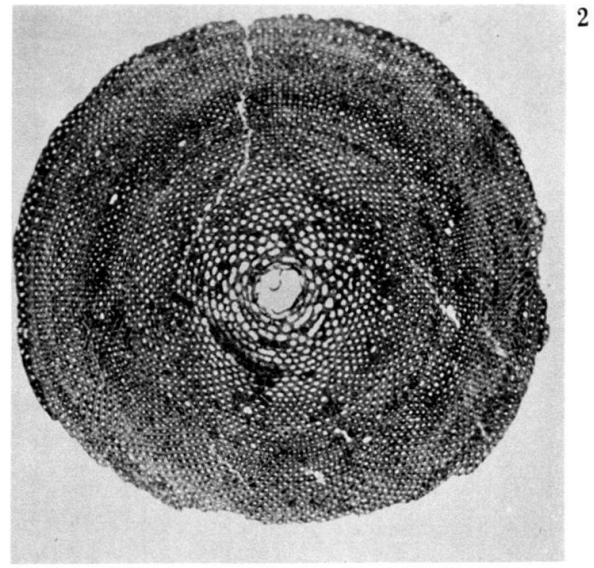
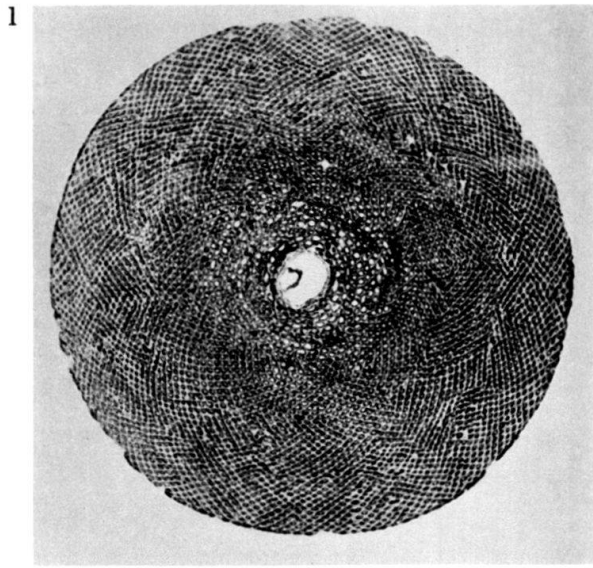
Vergr. $\times 50$.

Fig. 1 C 15316/a, Fig. 2 C 15317/a, Fig. 3 C 15318/a, Fig. 4 C 15319/a, Fig. 5 C 15320/a.



Tafel VI

- Fig. 1 *Orbitolites cotentinensis* n.sp. Biarritzien, Fresville. Äquatorialschnitt. Vergr. $\times 10$.
C 15321/a.
- Fig. 2 *Orbitolites cotentinensis* n.sp. Biarritzien, Veauville. Äquatorialschnitt. Vergr. $\times 10$.
C 15322/a.
- Fig. 3 *Orbitolites cotentinensis* n.sp. Biarritzien, Fresville. Embryonalapparat. Vergr. $\times 50$.
C 15323/a.
- Fig. 4 *Orbitolites cotentinensis* n.sp. Biarritzien, Veauville. Zentralkammer einer mikrosphärischen Form. Vergr. $\times 50$. C 15324/a.
- Fig. 5 *Orbitolites cotentinensis* n.sp. Biarritzien, Fresville. Holotyp. Embryonalapparat. Vergr. $\times 50$.
C 15325/a.
- Fig. 6 *Orbitolites cotentinensis* n.sp. Biarritzien, Veauville. Embryonalapparat. Vergr. $\times 50$.
C 15326/a.
(Paratypen, ausser Fig. 5)



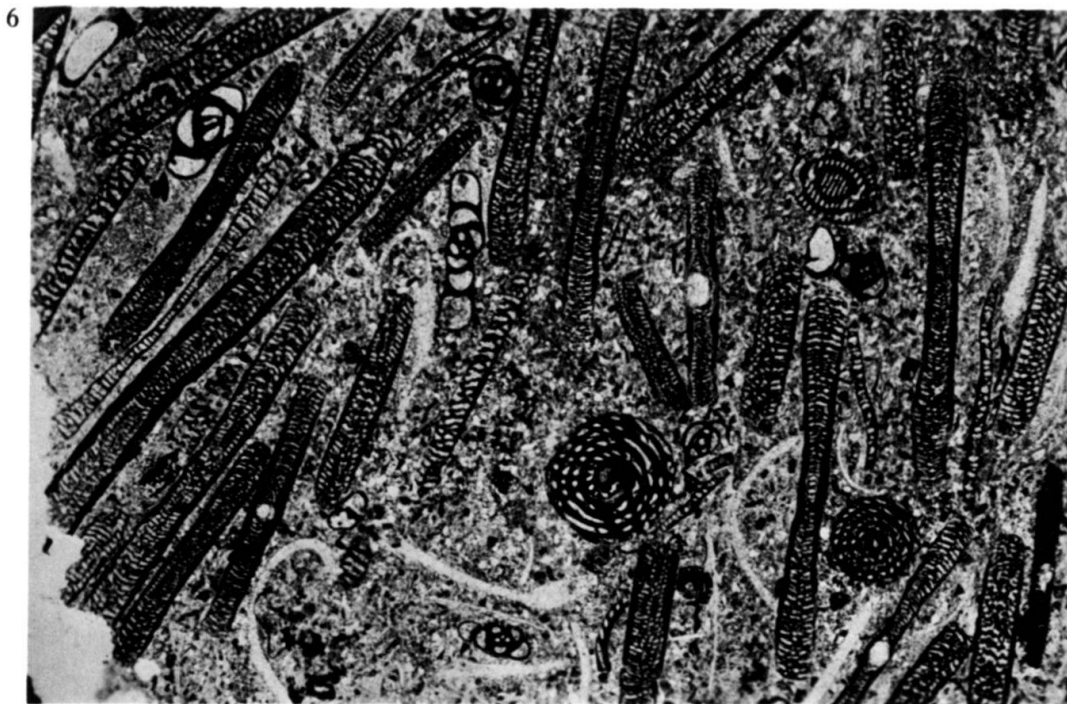
Tafel VII

- Fig. 1, 2, 4, 6 und 9 *Orbitolites cf. douvilléi* (NUTTALL), Ilerdien (oberes Paleocaen).
Coustouge.
Fig. 3 und 5 Escanduso.
Fig. 7 Barroubio.
Fig. 8 und 10 Mt. Cayla.

Die Figuren stellen schiefe Axialschnitte dar, mit Ausnahme der Fig. 4 (schiefer Tangentialschnitt) und der Fig. 6 (Gesteinsdünnschliff mit vielen Orbitoliten).

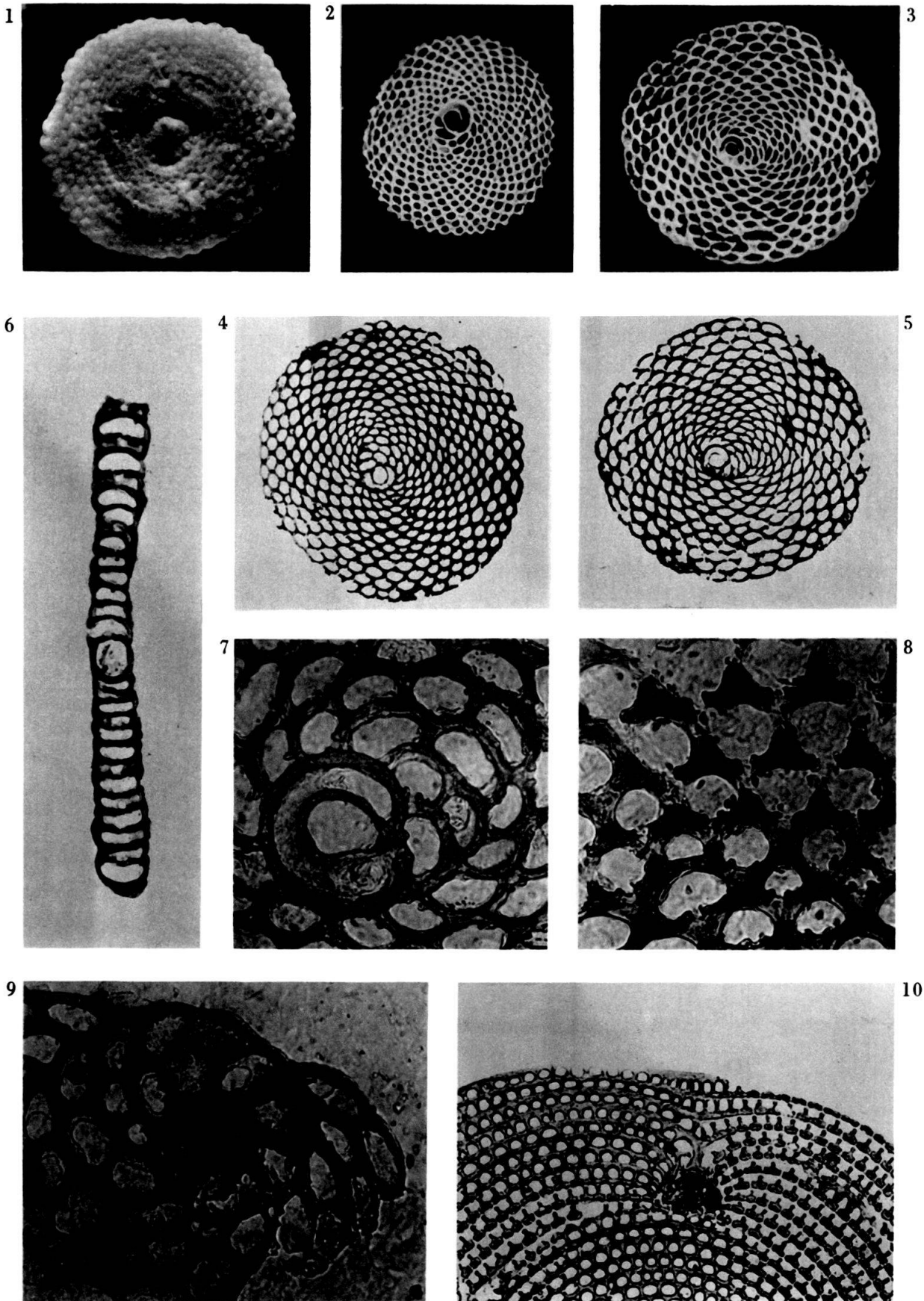
Vergr. $\times 25$, Fig. 6 Vergr. $\times 10$.

Fig. 1, 4 und 9 C 15327/a, Fig. 2 und 6 C 15328/a, Fig. 3 C 15329/a, Fig. 5 C 15330/a, Fig. 7 C 15331/a, Fig. 8 und 10 C 15332/a.



Tafel VIII

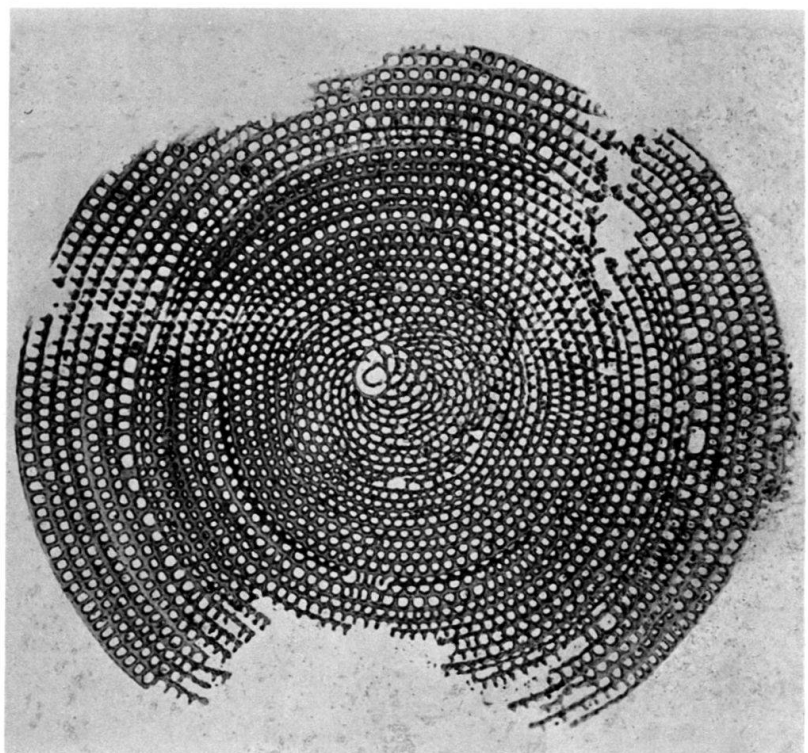
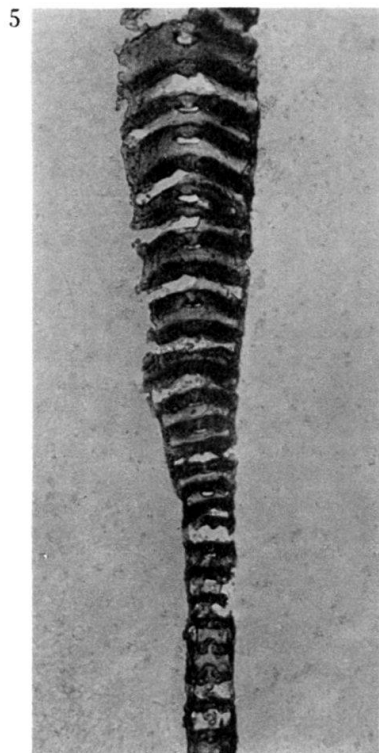
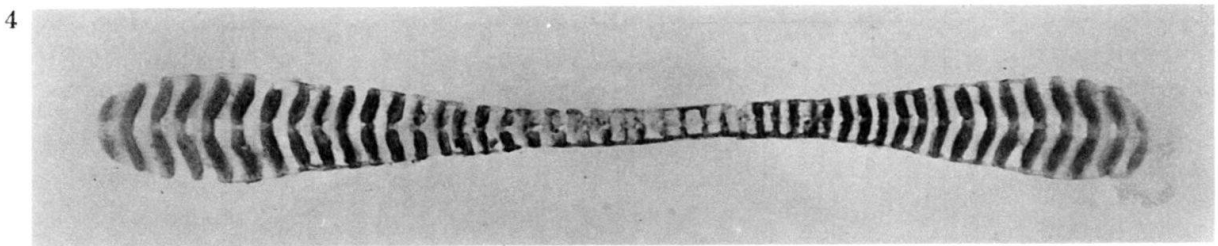
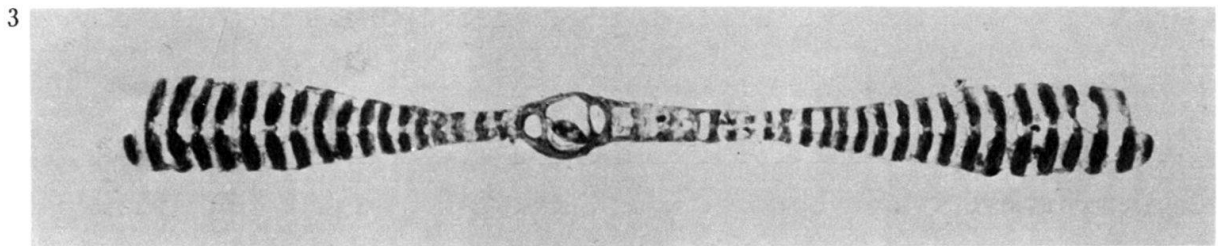
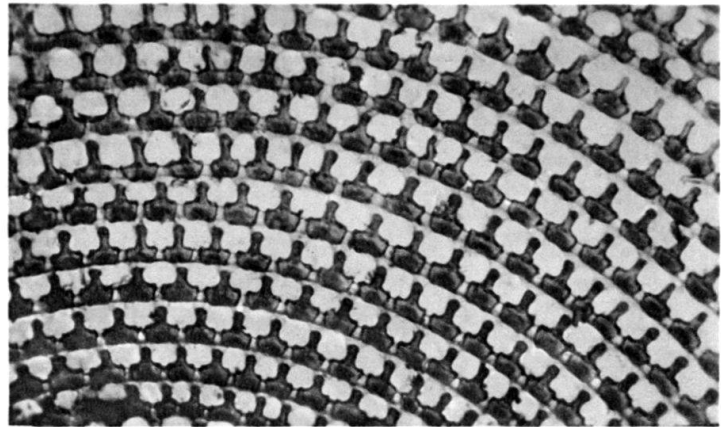
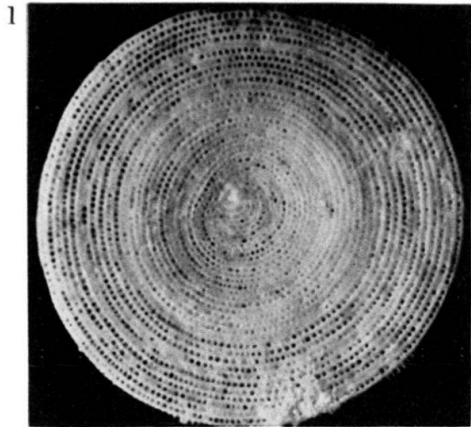
- Fig. 1 *Sorites orbiculus* EHRENBERG, Waschoe, Schalenansicht. Vergr. $\times 25$. C 15333.
Fig. 2 *Sorites orbiculus* EHRENBERG, Eubea, Äquatorialschnitt. Vergr. $\times 25$. C 15334/a.
Fig. 3 *Sorites orbiculus* EHRENBERG, Aden, Äquatorialschnitt. Vergr. $\times 25$. C 15335/a.
Fig. 4 *Sorites orbiculus* EHRENBERG, Aden, Äquatorialschnitt. Vergr. $\times 25$. C 15336/a.
Fig. 5 *Sorites orbiculus* EHRENBERG, Aden, Äquatorialschnitt. Vergr. $\times 25$. C 15335/a.
Fig. 6 *Sorites orbiculus* EHRENBERG, Axialschnitt. Vergr. $\times 50$. C 15337/a.
Fig. 7 *Sorites orbiculus* EHRENBERG, Waroe, Zentralkammer einer megalosphärischen Form. Vergr. $\times 200$. C 15338/a.
Fig. 8 *Sorites orbiculus* EHRENBERG, Waroe, Ausschnitt der Struktur. Vergr. $\times 200$. C 15338/a.
Fig. 9 *Sorites marginalis* (CARPENTER), Waschoe, Zentralkammer einer mikrosphärischen Form. Vergr. $\times 200$. C 15339/a.
Fig. 10 *Sorites marginalis* (CARPENTER), Waschoe, Umwachsen eines Fremdkörpers. Vergr. $\times 50$. C 15340/a.
Alle rezent.



Tafel IX

Sorites marginalis (CARPENTER), rezent.

- Fig. 1 Nai, Schalenansicht. Vergr. $\times 15$. C 15341.
- Fig. 2 Waroe, Teilstück eines Äquatorialschnittes. Vergr. $\times 100$. C 15342/a.
- Fig. 3 Waschoe, Axialschnitt. Vergr. $\times 60$. C 15343/a.
- Fig. 4 Waschoe, fast axialer Tangentialschnitt. Vergr. $\times 60$. C 15344/a.
- Fig. 5 Kei-Inseln, Teilstück eines Axialschnittes. Vergr. $\times 80$. Geol.-Pal. Inst.
- Fig. 6 Waschoe, Äquatorialschnitt. Vergr. $\times 30$. C 15345/a.



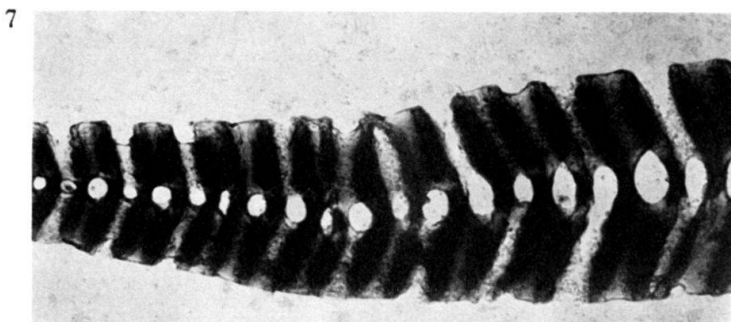
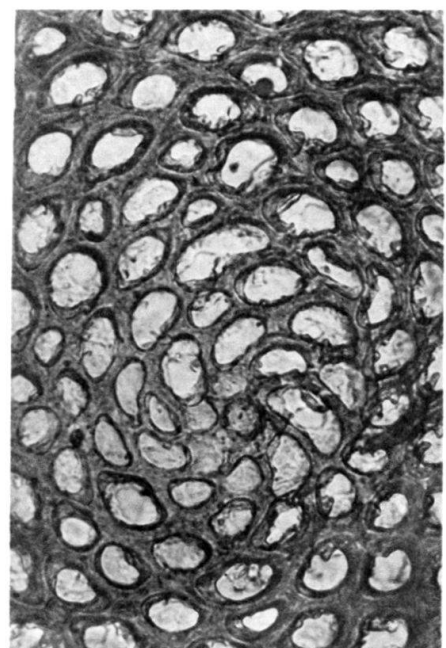
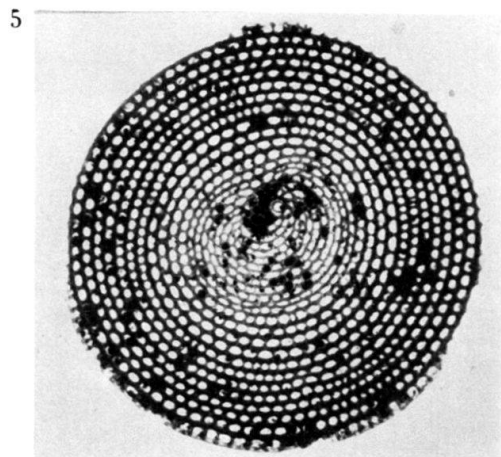
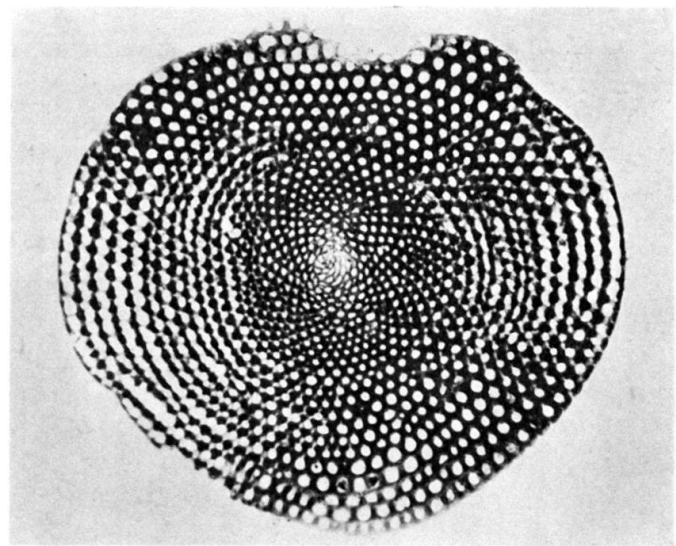
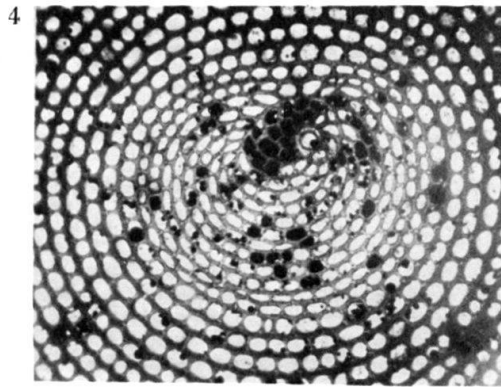
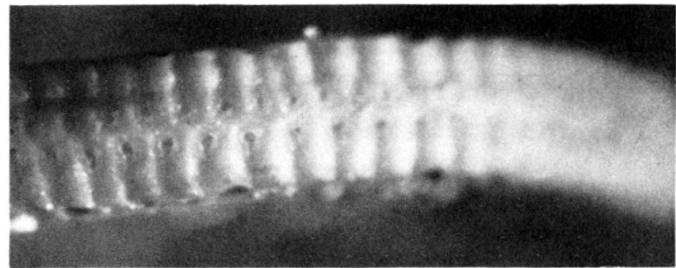
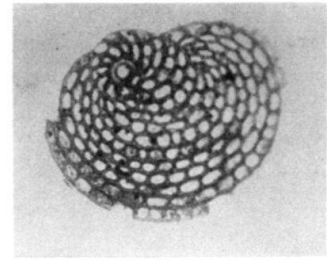
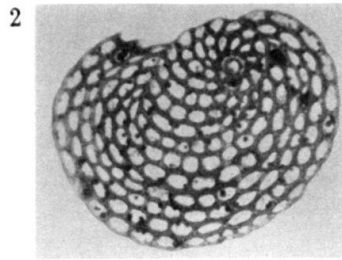
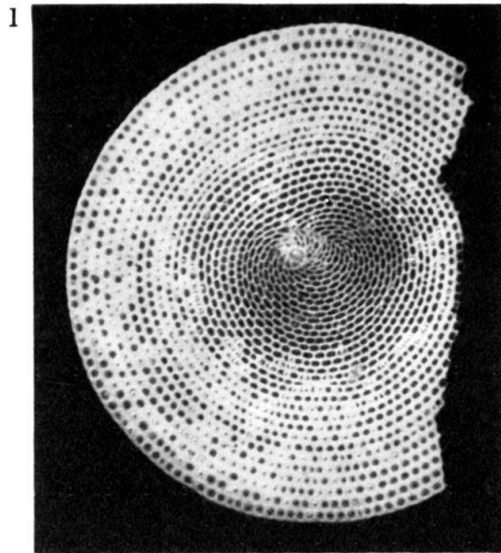
Tafel X

Sorites orbitolitoides (HOFKER), Samoa.

- Fig. 1 Ganzes Exemplar in Kanadabalsampräparat. Vergr. $\times 25$.
- Fig. 2 Äquatorialschnitt. Vergr. $\times 50$.
- Fig. 3 Äquatorialschnitt. Vergr. $\times 50$.
- Fig. 4 Ausschnitt des Zentrums von Fig. 5. Vergr. $\times 50$.
- Fig. 5 Äquatorialschnitt. Vergr. $\times 30$.

Amphisorus hemprichii EHRENBERG

- Fig. 6 Nai, Marginalseite. Vergr. $\times 50$. C 15346.
 - Fig. 7 Teilstück eines Axialschnittes. Vergr. $\times 80$. C 15347/a.
 - Fig. 8 Waroe, Äquatorialschnitt einer mikrosphärischen Form. Vergr. $\times 25$. C 15348/a.
 - Fig. 9 Waroe, Zentralkammer einer mikrosphärischen Form. Vergr. $\times 200$. C 15348/a.
- Fig. 1 coll. SCHLUMBERGER 1887 R. L. Fig. 2, 3, 4 und 5 coll. SCHLUMBERGER 2073.
Alle rezent.



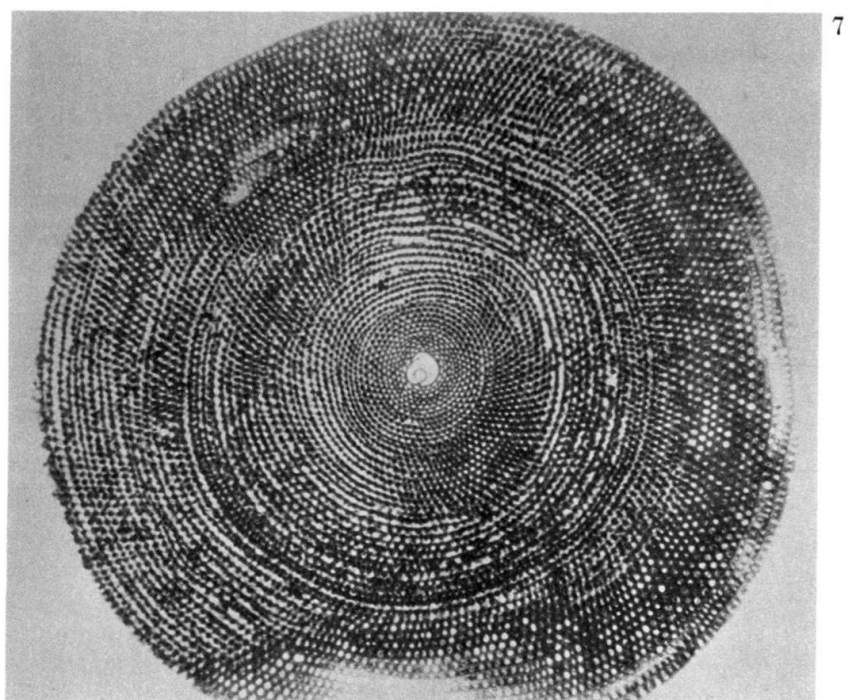
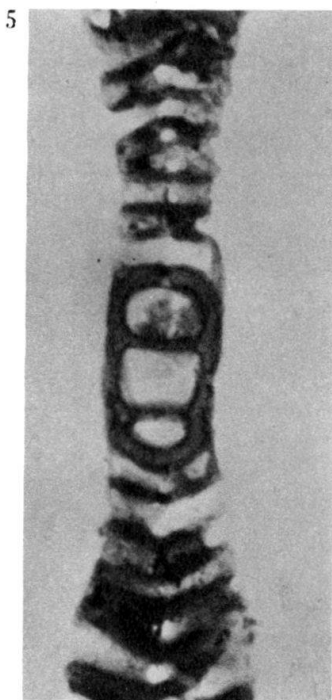
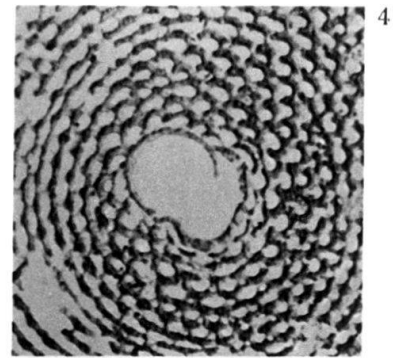
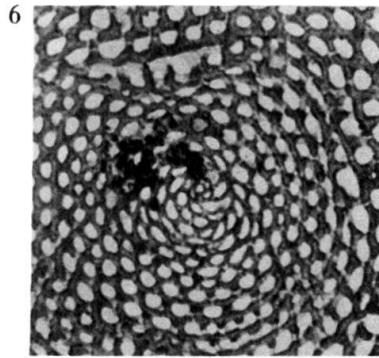
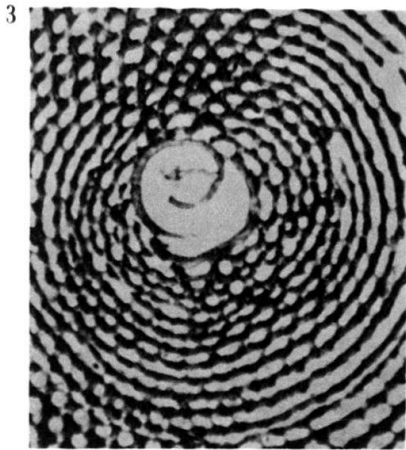
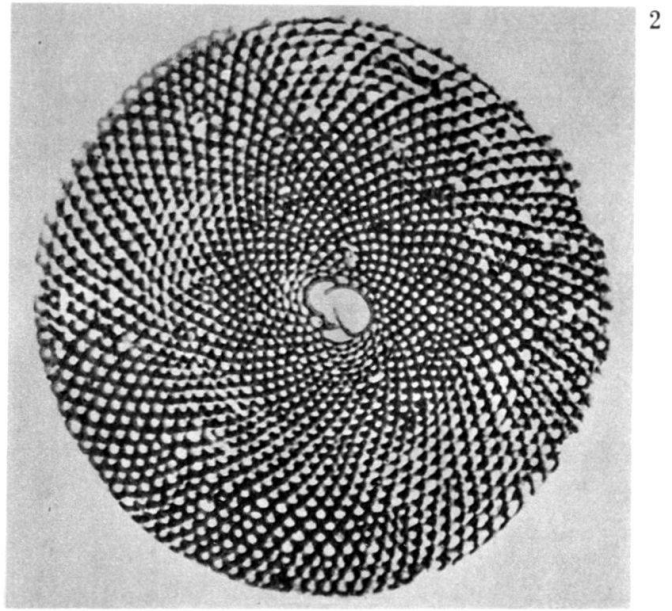
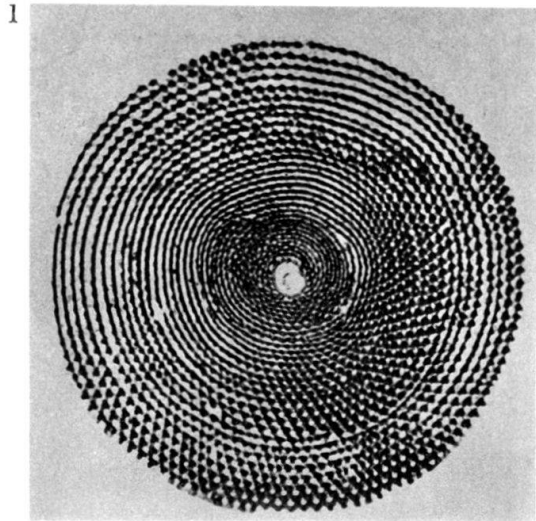
Tafel XI

Amphisorus hemprichii EHRENBERG

- Fig. 1 Nai, Äquatorialschnitt. Vergr. $\times 15$. C 15349/a.
Fig. 2 Waschoe, Äquatorialschnitt. Vergr. $\times 25$. C 15350/a.
Fig. 3 Waschoe, Proloculus und Vorhof. Vergr. $\times 50$. C 15351/a.
Fig. 4 Waschoe, Proloculus und Vorhof. Vergr. $\times 50$. C 15352/a.
Fig. 5 Kei-Inseln, Proloculus und Vorhof axial geschnitten. Vergr. $\times 100$. C 15353/a

Marginopora vertebralis QUOY und GAIMARD

- Fig. 6 Ohoiwa, Zentralkammer einer mikrosphärischen Form. Vergr. $\times 50$. C 15354/a.
Fig. 7 Gross-Kei, Äquatorialschnitt. Vergr. $\times 10$. Geol.-Pal. Inst.
Alle rezent.

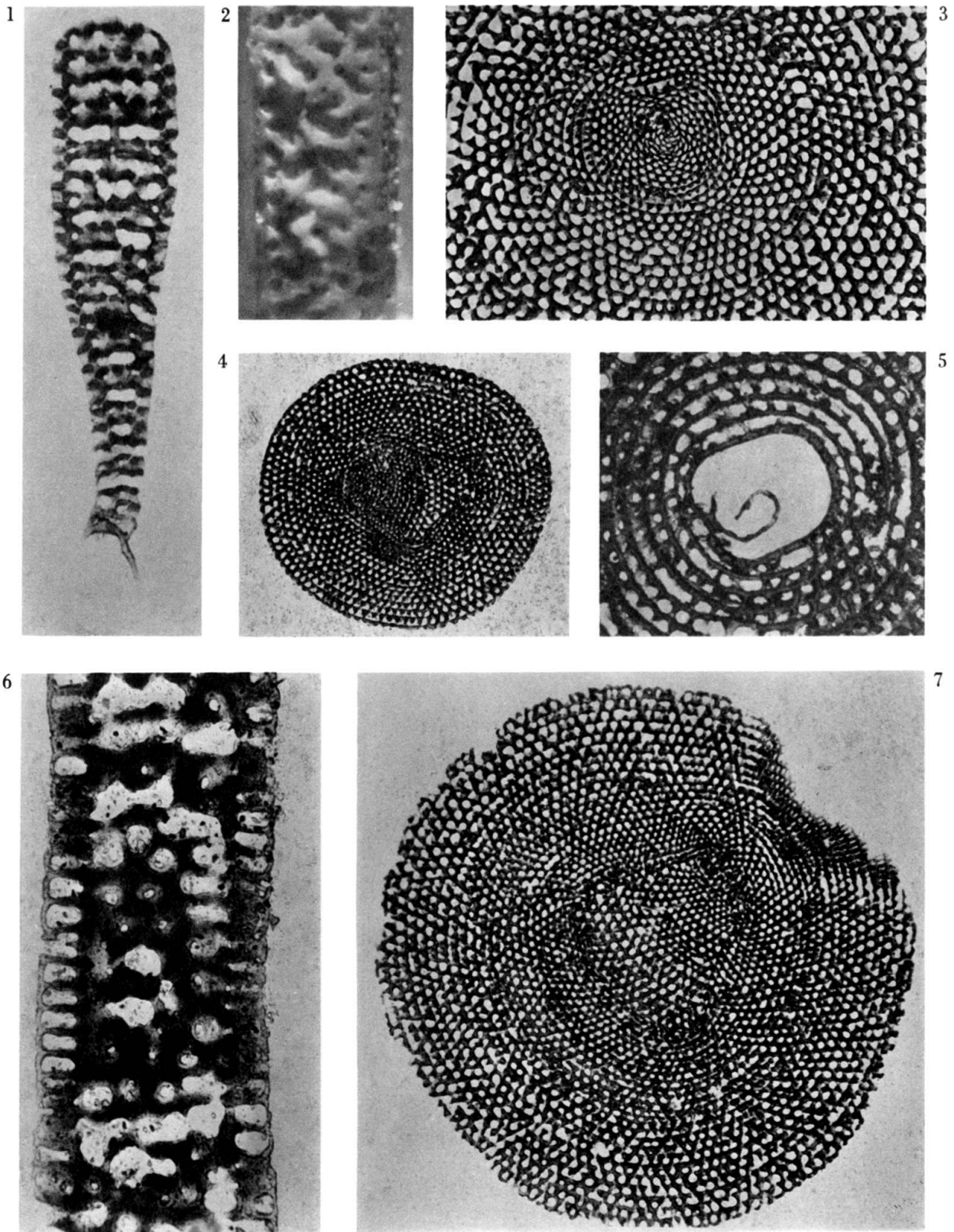


Tafel XII

Marginopora vertebralis QUOY und GAIMARD

- Fig. 1 Waschoe, Teilstück eines Axialschnitts. Vergr. $\times 50$. C 15355/a.
Fig. 2 Kei-Inseln, Marginalseite. Vergr. $\times 50$. C 15356.
Fig. 3 Ohoiwa, Zentralkammer einer mikrosphärischen Form. Vergr. $\times 25$. C 15354/a.
Fig. 4 Nai, regeneriertes Exemplar. Vergr. $\times 15$. C 15357/a.
Fig. 5 Nai, Proloculus und Vorhof. Vergr. $\times 50$. C 15358/a.
Fig. 6 Nai, Teilstück eines Tangentialschnitts. Vergr. $\times 80$. C 15359/a.
Fig. 7 Waschoe, regeneriertes Exemplar. Vergr. $\times 15$. C 15360/a.

Alle rezent.

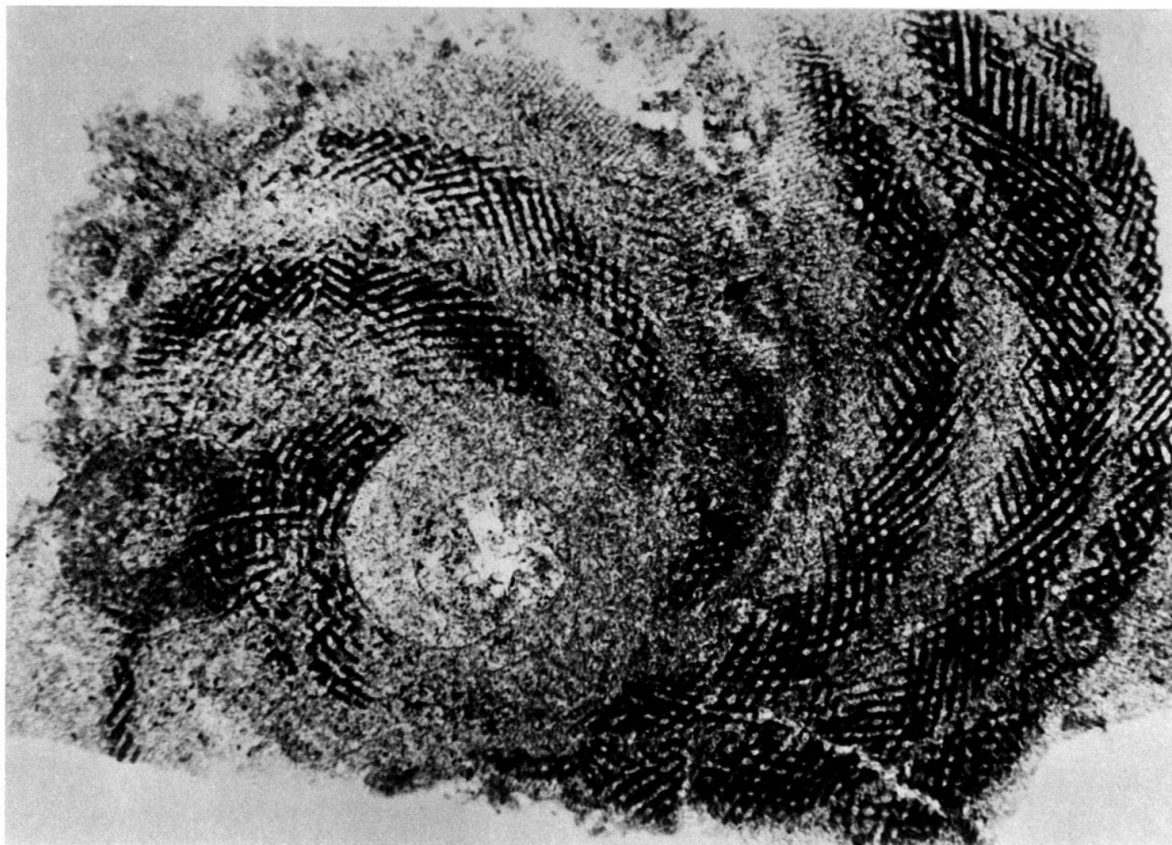


Tafel XIII

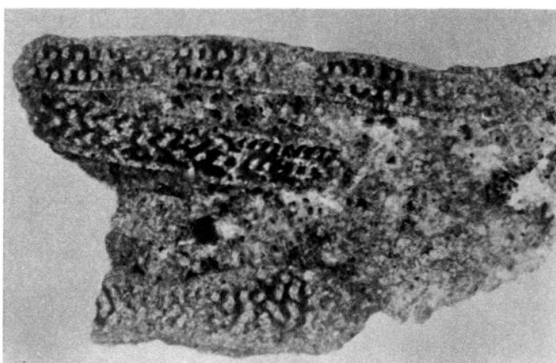
Yaberinella jamaicensis VAUGHAN, mittl. Eocaen, Spice Grove.

- Fig. 1 Äquatorialschnitt. Vergr. $\times 20$. C 15361/a.
Fig. 2 Axialschnitte. Vergr. $\times 20$. C 15362/a.
Fig. 3 Äquatorialschnitt mit den sich kreuzenden Rampen des Endoskeletts. Vergr. $\times 50$. C 15361/a.
Fig. 4 Ausschnitt eines Äquatorialschliffs. Die feinen Wändchen der Mansarden sind schwach sichtbar. Vergr. $\times 50$. C 15361/a.

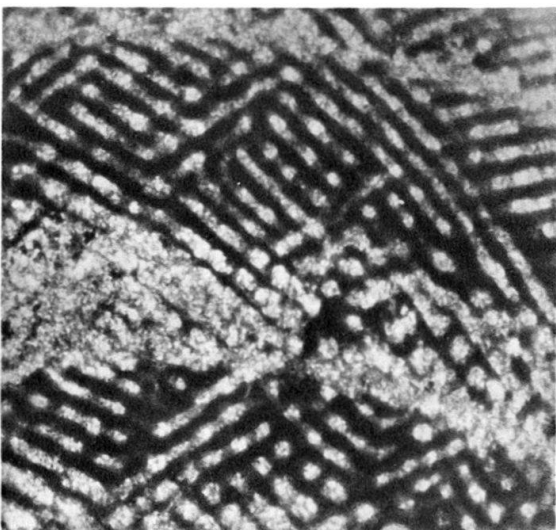
1



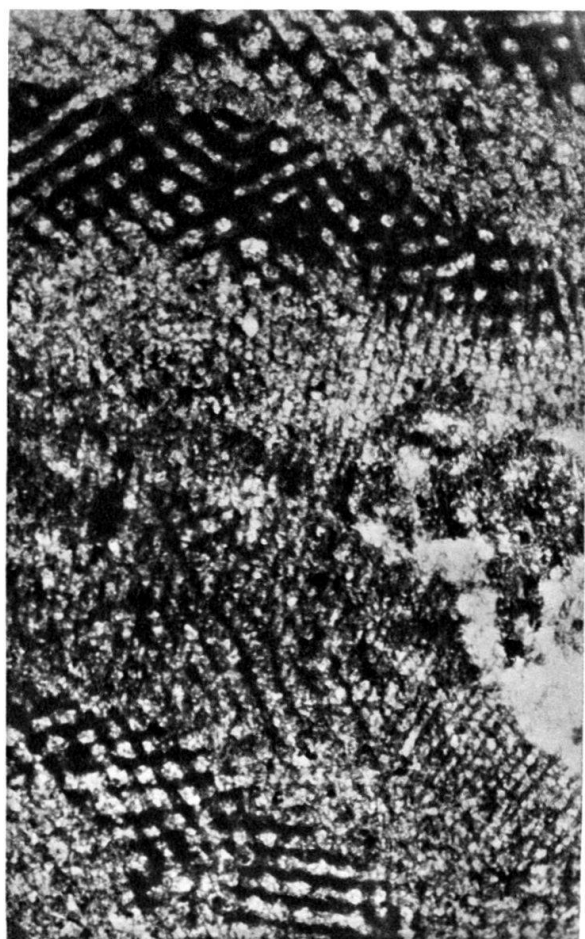
2



3



4



Tafel XIV

Yaberinella jamaicensis VAUGHAN, mittl. Eocaen, Spice Grove.

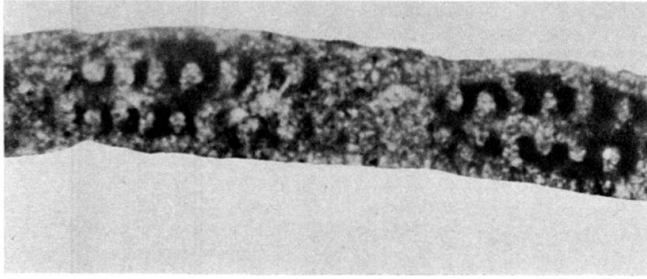
Fig. 1, 2 und 3 Ausschnitte von Axialschliffen. Auf den Seiten sind teilweise die Mansarden schwach abgezeichnet. Vergr. $\times 50$. Fig. 1 C 15362/a, Fig. 2 C 15363/a, Fig. 3 C 15364/a.

Somalina stefaninii SILVESTRI, Lutétien, Bandar Abbas (Iran).

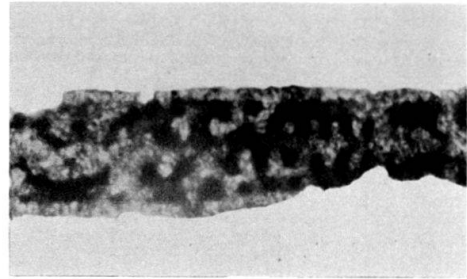
Fig. 4 Tangentialschnitt. Vergr. $\times 20$. C 15365/a.

Fig. 5 Axialschnitt. Vergr. $\times 20$. C 15366/a.

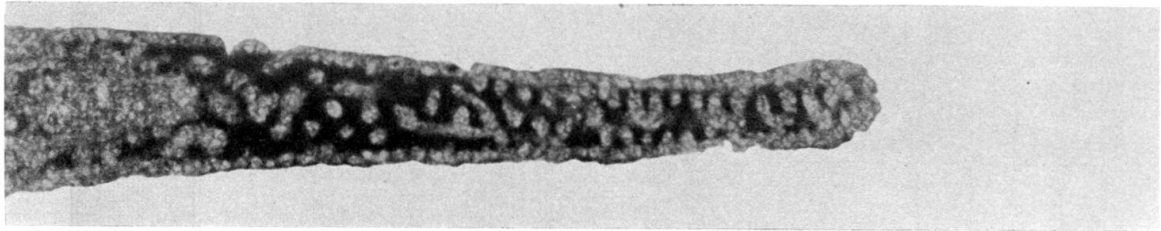
1



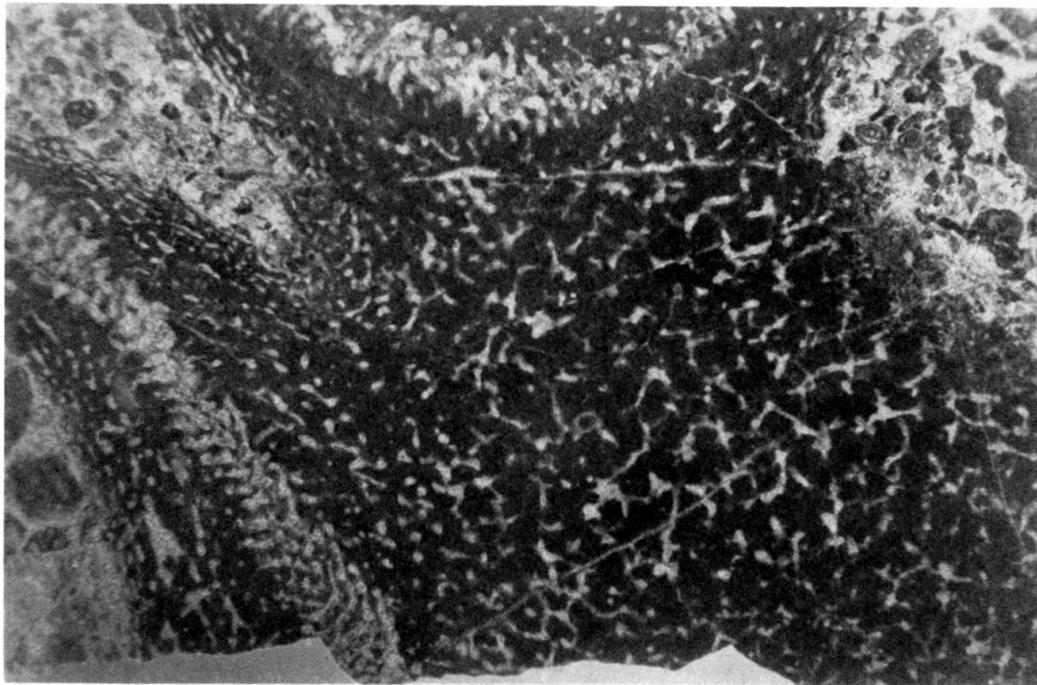
2



3



4



5

